

Captadores solares planos: SO 7000 TF V/H

El captador solar FT 226 - 2 de Bosch continúa innovando y supone una revolución en los captadores solares de alto rendimiento, debido a su capacidad de lograr las máximas prestaciones, aún en las condiciones más difíciles, y a su innovador circuito hidráulico con doble serpentín.



- ▶ Tratamiento altamente selectivo PVD.
- ▶ Circuito hidráulico con doble serpentín.
- ▶ Vidrio solar ligeramente estructurado.
- ▶ Conexiones metálicas flexibles.
- ▶ Para montaje en vertical y horizontal.
- ▶ Vaina para lectura de temperatura.

Captadores solares planos: SO 5000 TF V/H

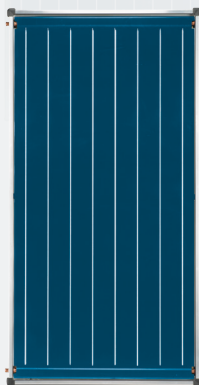
El captador solar FKC-2 CTE de Bosch es la mejor apuesta cuando se busca un captador fiable y fácil de instalar, con un aporte energético elevado.



- ▶ Tratamiento altamente selectivo PVD.
- ▶ Circuito hidráulico con parrilla.
- ▶ Vidrio solar de seguridad estructurado.
- ▶ Conexiones metálicas flexibles.
- ▶ Para montaje en vertical y horizontal.

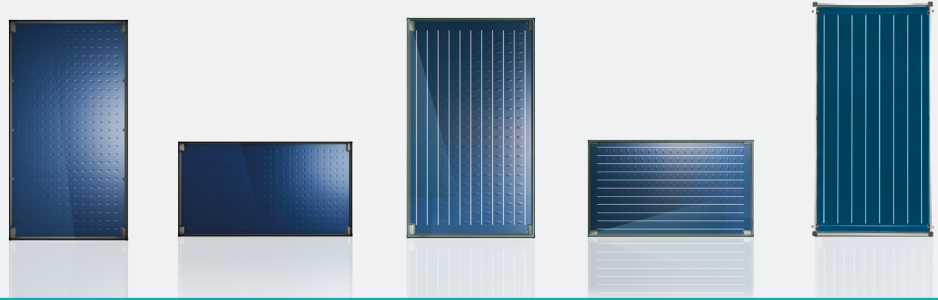
Captadores solares planos: SO 4000 TF V

La generación de captadores compactos FCC220-2 CTE de Bosch amplía la oferta de captadores solares Bosch al mercado ya que se trata de una gama de captadores de dimensiones menores (2,09 m² de superficie total), con excelente competitividad, en el ratio precio / rendimiento y una gran facilidad de instalación.



- ▶ Tratamiento selectivo de alto rendimiento PVD.
- ▶ Circuito hidráulico en parrilla de tubos.
- ▶ Bandeja de aluminio en el captador solar.
- ▶ Conexiones metálicas flexibles.
- ▶ Aislamiento en lana mineral de 25 mm.
- ▶ Vaina para lectura de temperatura.

Características técnicas captadores solares planos



| Gama | SO 7000 TF | | SO 5000 TF | | SO 4000 TF |
|---|------------------------------------|------------------------------------|------------------------------------|------------------------------------|---------------------|
| Modelo | FT 226 - 2V | FT 226 - 2H | FKC-2 S CTE | FKC-2 W CTE | FCC220-2V CTE |
| Montaje | vertical | horizontal | vertical | horizontal | vertical |
| Dimensiones: ancho x alto x fondo [mm] | 1.175x2.170x87 | 2.170x1.175x87 | 1.175x2.017x87 | 2.017x1.175x87 | 1.032x2.026x67 |
| Área total [m ²] | 2,55 | 2,55 | 2,37 | 2,37 | 2,09 |
| Área de apertura [m ²] | 2,43 | 2,43 | 2,25 | 2,25 | 1,94 |
| Área del absorbedor [m ²] | 2,35 | 2,35 | 2,18 | 2,18 | 1,92 |
| Volumen del absorbedor [l] | 1,6 | 1,96 | 0,94 | 1,35 | 0,8 |
| Peso en vacío [kg.] | 44,8 | 44,8 | 40 | 40 | 30 |
| Presión trabajo máx. [bar] | 10 | 10 | 6 | 6 | 6 |
| Caudal nominal [l/h] | 50 | 50 | 50 | 50 | 50 |
| Carcasa | Fibra de vidrio con tecnología SMC | Aluminio |
| Aislamiento | Lana mineral, de 55 mm de espesor | Lana mineral, 25 mm |
| Absorbedor | Altamente selectivo | Altamente selectivo | Altamente selectivo | Altamente selectivo | Altamente selectivo |
| Recubrimiento absorbedor | PVD | PVD | PVD | PVD | PVD |
| Circuito hidráulico | Doble serpentín | Doble serpentín | Parrilla de tubos | Parrilla de tubos | Parrilla de tubos |
| Curva de rendimiento instantáneo según EN 12975-2 (basada en el área de apertura) | | | | | |
| Factor de eficiencia η_0 | 0,79 | 0,802 | 0,766 | 0,77 | 0,761 |
| Coef. pérdidas línea [W/m ² K] | 3,86 | 3,833 | 3,216 | 3,871 | 4,083 |
| Coef. pérdidas secundaria [W/m ² K ²] | 0,013 | 0,015 | 0,015 | 0,012 | 0,012 |
| Curva de rendimiento instantáneo según EN ISO 9806 (basada en el área total) | | | | | |
| Factor de eficiencia η_0 | 0,749 | 0,753 | 0,721 | 0,718 | 0,705 |
| Coef. pérdidas línea [W/m ² K] | 3,58 | 3,769 | 3,515 | 3,937 | 3,780 |
| Coef. pérdidas secundaria [W/m ² K ²] | 0,014 | 0,0137 | 0,013 | 0,011 | 0,011 |